

# MT404/MS993

## Métodos computacionais de álgebra linear

Primeiro projeto – 2023

*Domínio numérico de matrizes*

### Resumo

Este é o primeiro trabalho da disciplina MT404/MS993 do segundo semestre de 2023. Trata-se de um problema moderno interessante que envolve manipulações matriciais simples. Nós o exploraremos como “aquecimento” de programação para os projetos seguintes. Não será necessário implementar o algoritmo de diagonalização envolvido neste primeiro projeto.

## Domínio numérico de matrizes

Dado um operador limitado  $T$  em um espaço de Hilbert complexo  $\mathcal{H}$ , define-se seu **domínio numérico** (numerical range, field of values), ou domínio de Hausdorff, como sendo a região do plano complexo  $W(T) \subset \mathbb{C}$  tal que

$$W(T) = \{z \in \mathbb{C} \mid z = \langle x, Tx \rangle, x \in \mathcal{H} \text{ com } \|x\| = 1\}. \quad (1)$$

Nosso interesse se concentrará no caso das transformações lineares definidas por matrizes complexas  $A \in \mathbb{C}^{n \times n}$ , para as quais teremos

$$W(A) = \left\{ \frac{Z^\dagger A Z}{Z^\dagger Z} \in \mathbb{C} \mid 0 \neq Z \in \mathbb{C}^n \right\}, \quad (2)$$

sendo  $Z^\dagger = \overline{Z^t}$  o transposto conjugado matricial. Para mais detalhes sobre o domínio numérico, algumas de suas aplicações e problemas abertos, ver [1, 2]. Da definição (2), seguem, dentre outras, as seguintes propriedades elementares de  $W(A)$ .

- P1: Continência espectral.**  $\Lambda(A) \subset W(A)$ , sendo  $\Lambda(A)$  o espectro (complexo) de  $A$ .
- P2: Conjugado complexo.**  $W(A^\dagger) = \overline{W(A)}$ .
- P3: Subaditividade.**  $W(A + B) \subseteq W(A) + W(B)$ .
- P4: Translação.**  $W(A + z_0 I) = W(A) + z_0$  para todo  $z_0 \in \mathbb{C}$ .
- P5: Multiplicação por um escalar.**  $W(z_0 A) = z_0 W(A)$  para todo  $z_0 \in \mathbb{C}$ . Notem que para  $z_0 = e^{i\theta}$ , teremos uma rotação em  $\mathbb{C}$ .
- P6: Unitariedade.**  $W(UAU^\dagger) = W(A)$ , para qualquer matriz unitária  $U$ .
- P7: Matrizes normais.** Se  $A$  é normal,  $W(A)$  será o invólucro convexo dos autovalores de  $A$ . Em particular, se  $A$  é Hermitiana,  $W(A) = [\lambda_{\min}, \lambda_{\max}] \in \mathbb{R}$ .
- P8: Convexidade.**  $W(A)$  é convexo. (Teorema de Hausdorff-Toeplitz).

Todas estas propriedades seguem de maneira mais ou menos direta da definição (2), com exceção das propriedades P7 e P8. Esta última é consequência do teorema de Hausdorff-Toeplitz. A **primeira atividade deste projeto** é provar estas duas propriedades. No caso da P8, o teorema de Hausdorff-Toeplitz deve ser enunciado e provado para o caso de matrizes complexas  $A \in \mathbb{C}^{n \times n}$ . A referência [2] pode ser útil neste ponto.

A **segunda tarefa** será determinar numericamente e representar graficamente  $W(A)$ . Para esta finalidade, seguiremos os mesmos passos de [3]. Antes de iniciarmos o problema mais geral, é interessante considerarmos como exemplo o caso de matrizes  $2 \times 2$ . Vamos demonstrar o seguinte resultado clássico bem conhecido.

**Teorema 1 (Domínio elíptico)** *O domínio numérico de uma matriz  $2 \times 2$  complexa é a região do plano complexo delimitada por uma elipse (possivelmente degenerada) com os focos em seus autovalores.*

Provaremos este teorema de uma maneira “econômica”, mas direta. Consideremos primeiro o caso particular de matrizes da forma

$$A = \begin{bmatrix} 0 & a \\ b & 0 \end{bmatrix}, \quad (3)$$

com  $a, b \in \mathbb{R}$  não negativos. Pode-se admitir, sem perda de generalidade (ver propriedade P2), que  $a \geq b$ . Notem que um vetor  $Z \in \mathbb{C}^2$  unitário ( $Z^\dagger Z = 1$ ) arbitrário pode ser parametrizado como  $Z = e^{i\psi}(\sin \theta, e^{i\phi} \cos \theta)^t$ , com  $\phi, \psi \in [0, 2\pi]$  e  $\theta \in [0, \pi/2]$ . Para matrizes do tipo (3), esta parametrização para  $Z$  implica

$$W(A) = \left\{ \frac{1}{2} \sin 2\theta \cos \theta (ae^{i\phi} + be^{-i\phi}) \right\}, \quad (4)$$

*i.e.*,  $W(A)$  é conjunto de complexos  $z = x + iy$  tais que

$$x = \frac{a+b}{2} \sin 2\theta \cos \phi, \quad (5)$$

$$y = \frac{a-b}{2} \sin 2\theta \sin \phi. \quad (6)$$

O caso  $a = b = 0$  é trivial,  $W(A)$  será um único ponto, a origem, coincidindo com o único autovalor da matriz  $A$  nesse caso. Se  $a = b$ ,  $W(A)$  será o intervalo real  $[-a, a]$ , o intervalo limitado pelos dois autovalores de  $A$  (ver P7). Estes são os casos degenerados. Em geral, teremos

$$\frac{4x^2}{(a+b)^2} + \frac{4y^2}{(a-b)^2} = \sin^2 2\theta, \quad (7)$$

de onde vemos que  $W(A)$  é a região (disco) elíptica cuja fronteira corresponde à elipse (7) com  $\theta = \pi/4$ . Das propriedades elementares das elipses, temos que os focos da elipse (7) para  $\theta = \pi/4$  estão sobre a reta real nos pontos  $x = \pm\sqrt{ab}$ , *i.e.*, eles coincidem com os autovalores da matriz  $A$  dada por (3).

A partir deste resultado particular, podemos provar o teorema do domínio elíptico para matrizes  $2 \times 2$  arbitrárias explorando algumas propriedades de  $W(A)$ . Primeiro, vamos relaxar a matriz  $A$  para o caso complexo, *i.e.*, vamos admitir agora  $a = \rho_a e^{i\theta_a}$  e  $b = \rho_b e^{i\theta_b}$ . Podemos considerar a transformação unitária

$$\begin{bmatrix} 1 & 0 \\ 0 & e^{i\frac{\theta_a - \theta_b}{2}} \end{bmatrix} \begin{bmatrix} 0 & a \\ b & 0 \end{bmatrix} \begin{bmatrix} 1 & 0 \\ 0 & e^{-i\frac{\theta_a - \theta_b}{2}} \end{bmatrix} = e^{i\frac{\theta_a + \theta_b}{2}} \begin{bmatrix} 0 & \rho_a \\ \rho_b & 0 \end{bmatrix}, \quad (8)$$

e pelas propriedades P5 e P6, vemos que  $W(A)$  também será uma elipse, mas agora após uma certa rotação no plano complexo.

Para provarmos o teorema, basta agora mostrar como reduzir o caso de uma matriz  $2 \times 2$  complexa genérica  $A$  ao caso que já conhecemos. A propriedade P4 nos permite considerar apenas os casos de traço nulo, pois basta fazer uma translação  $A \rightarrow A - \frac{1}{2}(\text{Tr } A)I$  e teremos que o domínio numérico será apenas deslocado no plano complexo. Para finalizar a análise, invocamos o resultado elementar que nos garante que uma matriz  $2 \times 2$  de traço nulo é unitariamente equivalente a uma matriz de diagonal zero<sup>1</sup>, o que nos reduz ao caso já conhecido. Para mostrar este resultado, considere a seguinte matriz unitária

$$U = \begin{bmatrix} \sin \theta & e^{i\phi} \cos \theta \\ -e^{-i\phi} \cos \theta & \sin \theta \end{bmatrix}, \quad (9)$$

com  $\phi \in [0, 2\pi]$  e  $\theta \in [0, \pi/2]$ , e considerem o produto

$$UAU^* = U \begin{bmatrix} c & a \\ b & -c \end{bmatrix} U^*. \quad (10)$$

As componentes diagonais do produto serão

$$[UAU^*]_{11} = -[UAU^*]_{22} = \frac{1}{2} \sin 2\theta (ae^{i\phi} + be^{-i\phi}) - c \cos 2\theta. \quad (11)$$

Para que se anulem, precisamos que

$$\omega = \frac{c}{ae^{i\phi} + be^{-i\phi}} \quad (12)$$

seja um número real e que  $\tan 2\theta = 2\omega$ . Ocorre que sempre é possível encontrar um  $\phi \in [0, 2\pi]$  tal que  $\Im\omega = 0$  em (12)! Provem esta afirmação, é uma **outra atividade do projeto!** Isto encerra a prova do teorema do domínio elíptico.

Podemos agora passar para o problema de matrizes de dimensão maior. É evidente que os domínios numéricos para estes casos serão regiões convexas mais complicadas, veja um exemplo na Fig. 1, que corresponde a uma matriz  $10 \times 10$ . Há poucas esperanças de obtermos analiticamente os domínios para dimensões mais altas, devemos apelar a aproximações numéricas. É o que faremos agora.

---

<sup>1</sup>De fato, isto é um corolário de um resultado muito mais forte: qualquer matriz complexa  $A \in \mathbb{C}^{n \times n}$  de traço zero é unitariamente equivalente a uma matriz cuja diagonal é nula, ver [2].

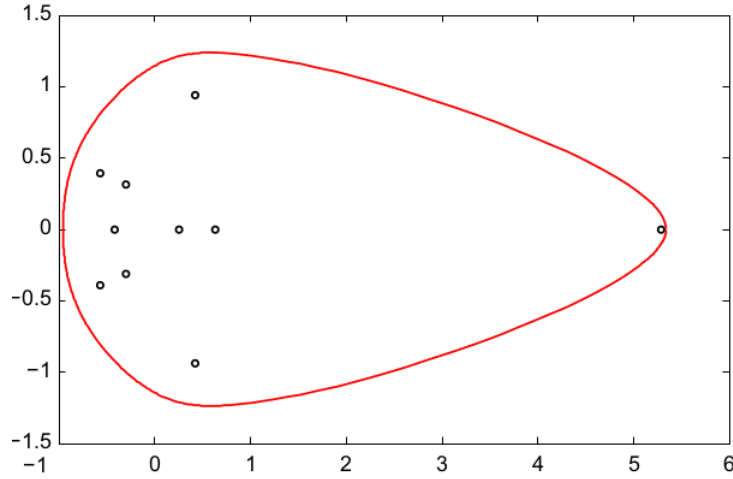


Figura 1: Domínio numérico de uma matriz arbitrária  $10 \times 10$ , com seus respectivos autovalores, figura retirada de [1]. Para uma coleção bonita de domínios numéricos, ver [4].

## O algoritmo

Como já foi dito, seguiremos a referência [3] para propor um algoritmo para determinar numericamente o domínio numérico de uma matriz  $A \in \mathbb{C}^{n \times n}$ . Antes de mais nada, convém lembrarmos alguns fatos. A fronteira  $\partial W(A)$  de  $W(A)$ , que é um conjunto fechado, é uma curva suave por partes. Mais que isso, é uma curva algébrica por partes. Se em algum ponto a curva não for diferenciável, é porque esse ponto é um autovalor de  $A$  (ver P7). Sendo uma curva suave, uma estratégia razoável seria determinar essa curva em alguns pontos e uni-los com uma poligonal. Quanto mais pontos tivermos, mas precisa será a representação da curva.

O ponto fundamental de [3] é que uma matriz  $A \in \mathbb{C}^{n \times n}$  pode ser sempre decomposta numa parte hermitiana e numa anti-hermitiana

$$A = \underbrace{\frac{1}{2}(A + A^\dagger)}_{A_H = A_H^\dagger} + \underbrace{\frac{1}{2}(A - A^\dagger)}_{A_I = -A_I^\dagger}. \quad (13)$$

Além do mais, se  $A_I$  é uma matriz anti-hermitiana,  $iA_I$  será necessariamente hermitiana. Portanto, o espectro de uma matriz anti-hermitiana  $A_I$  será sem-

pre composto por imaginários puros. Teremos

$$Z^\dagger AZ = \underbrace{Z^\dagger A_H Z}_{\text{parte real}} + \underbrace{Z^\dagger A_I Z}_{\text{parte imaginária}} \in \mathbb{C} \quad (14)$$

o que implica que podemos sempre localizar o “limite esquerdo” de  $W(A)$ , o qual será a reta vertical com  $z = \lambda_{\max}$ , o maior autovalor da matriz hermitiana  $A_H$ , ver Fig. 2. Podemos fazer melhor que isso. Seja  $Z_{\max}$  o (ou um)

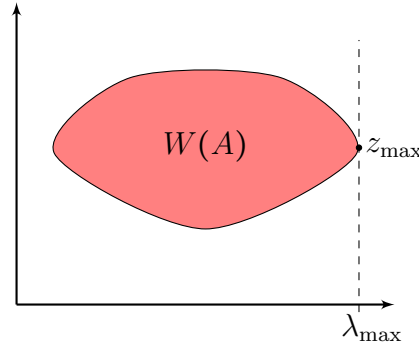


Figura 2: Esquema para localizar o ponto  $z_{\max}$ , o “limite esquerdo” de  $W(A)$ , a partir do maior autovalor da matriz hermitiana  $A_H$ .

autovetor (unitário) de  $A_H$  associado ao autovalor  $z = \lambda_{\max}$ . O ponto

$$z_{\max} = Z_{\max}^\dagger A Z_{\max} \in \mathbb{C} \quad (15)$$

é o ponto de tangência da reta vertical com  $W(A)$ , isto decorre diretamente das propriedades P3 e P7.

A ideia agora é “percorrer” a fronteira de  $W(A)$ , coletar diferentes pontos e uni-los com uma poligonal. Quanto mais pontos tivermos, melhor será a aproximação. Como percorremos a fronteira? Usando as rotações da propriedade P5! Por exemplo, se considerarmos a matriz  $A = e^{-i\phi_0} A$  e repetirmos as operações que levaram a construção da Fig. 2, vamos encontrar o limite esquerdo do domínio  $e^{-i\phi_0} W(A)$ , que nada mais é que o domínio original girado de  $\phi_0$  no sentido horário. Teremos descoberto, na prática, um outro ponto que está também na fronteira, mas deslocado no sentido anti-horário em relação ao ponto  $z = \lambda_{\max}$  original de  $A$ . Varrendo todo o intervalo  $[0, 2\pi]$ , varreremos toda a fronteira de  $W(A)$ . Podemos resumir estes passos no Algoritmo 1. A saída deste algoritmo será uma lista de pontos  $z_k \in \partial W(A)$ , e poderemos aproximar a fronteira  $\partial W(A)$  por uma poligonal.

---

**Algoritmo 1:** Domínio numérico de uma matriz

---

**Entrada:** Matriz  $A \in \mathbb{C}^{n \times n}$ , número de pontos na fronteira  $N > 0$ .

**Saída:** Lista de pontos  $z_k \in \partial W(A)$ ,  $k = 0, \dots, N - 1$ .

**início**

**para**  $k = 0, \dots, N - 1$  **faça**

$\phi = \frac{2k\pi}{N-1};$

$A_H = \frac{1}{2} (e^{-i\phi} A + e^{i\phi} A^\dagger);$

        determine  $(\lambda_{\max}, Z_{\max})$  de  $A_H$ ;

$z_k = Z_{\max}^t A Z_{\max};$

**fim**

**fim**

---

Este algoritmo pode ser melhorado de inúmeras maneiras. Espera-se que vocês explorem estas possibilidades. Por exemplo, da Fig. 2, é evidente que podemos também obter os limites da direita, superior e inferior de  $W(A)$ . Levando-se isto em conta, podemos diminuir o número de passos para determinar  $N$  pontos de  $\partial W(A)$ . Enfim, há vários pontos que podem ser explorados neste problema.

## Referências

- [1] M. Benzi, *Some Uses of the Field of Values in Numerical Analysis*, Boll. Union. Mat. Ital. **14**, 159-177 (2020).
- [2] R. Horn, C. Johnson, *Topics in Matrix Analysis*, Cambridge University Press, (1991)
- [3] C. Johnson, *Numerical determination of the field of values of a complex matrix*, SIAM J. Num. Analysis, **15**, 595 (1978).
- [4] <https://nhigham.com/2023/07/11/what-is-the-numerical-range-of-a-matrix/>